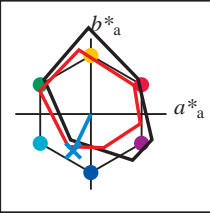


Entrée et sortie: Système Printer Reflective FRS06a pour la teinte CIELAB relative $h_{ab,a,rel} = h_{ab}/360 = 244/360 = 0.67$

$H^*_e = G75B_e$

Données de couleurs périphériques (d) ou élémentaires (e):

HIC^*_e
code de teinte pour les couleurs de cette page:
 $H^*_e = G75B_e$
triangle de luminosité T^*



LRS18a; données CIELAB (a) adaptées

| nom | $L^*=L^*_a$ | a^*_a | b^*_a | $C^*_{ab,a}$ | $h^*_{ab,a}$ |
|--------|-------------|---------|---------|--------------|--------------|
| Re,Ma | 47.5 | 56.0 | 26.7 | 62.1 | 25 |
| Ye,Ma | 83.6 | -3.1 | 76.8 | 76.9 | 92 |
| Ge,Ma | 53.8 | -65.9 | 21.1 | 69.2 | 162 |
| Ce,Ma | 54.9 | -38.7 | -29.1 | 48.4 | 216 |
| Be,Ma | 37.3 | 1.4 | -48.6 | 48.7 | 271 |
| Me,Ma | 38.5 | 46.7 | -28.5 | 54.7 | 328 |
| Ne,Ma | 23.8 | 0.0 | 0.0 | 0.0 | 0 |
| We,Ma | 95.8 | 0.0 | 0.0 | 0.0 | 0 |
| Re,CIE | 39.9 | 58.7 | 27.9 | 65.0 | 25 |
| Ye,CIE | 81.2 | -2.8 | 71.5 | 71.6 | 92 |
| Ge,CIE | 52.2 | -42.4 | 13.6 | 44.5 | 162 |
| Be,CIE | 30.5 | 1.4 | -46.4 | 46.4 | 271 |

Les données de couleur maximale (Ma):

$LabCh^*_{e,Ma}$: 51 -23 -48 53 244

$HIC^*_{e,Ma}$: G75B_100_100e

$rgbic^*_{e,Ma}$:

0.0 0.68 1.0 1.0 1.0

triangle de luminosité T^*

% Gamme
 $u^*_{rel} = 114$
% Régularité
 $g^*_{H,rel} = 28$
 $g^*_{C,rel} = 38$

LRS18a; données CIELAB (a) adaptées

| H^*_e | $L^*=L^*_a$ | a^*_a | b^*_a | $C^*_{ab,a}$ | $h^*_{ab,a}$ |
|---------------|-------------|---------|---------|--------------|--------------|
| R00Y_100_100e | 47.5 | 56.0 | 26.7 | 62.1 | 25 |
| R25Y_100_100e | 51.4 | 54.8 | 47.7 | 72.6 | 41 |
| R50Y_100_100e | 61.8 | 35.2 | 58.4 | 68.2 | 58 |
| R75Y_100_100e | 72.3 | 16.1 | 68.2 | 70.1 | 76 |
| Y00G_100_100e | 83.6 | -3.1 | 76.8 | 76.9 | 92 |
| Y25G_100_100e | 85.8 | -26.4 | 78.5 | 82.9 | 108 |
| Y50G_100_100e | 71.0 | -41.7 | 54.8 | 68.9 | 127 |
| Y75G_100_100e | 59.9 | -58.2 | 39.3 | 70.2 | 145 |
| G00B_100_100e | 53.8 | -65.9 | 21.1 | 69.2 | 162 |
| G25B_100_100e | 55.0 | -51.6 | -8.7 | 52.3 | 189 |
| G50B_100_100e | 54.9 | -38.7 | -29.1 | 48.4 | 216 |
| G75B_100_100e | 51.7 | -23.3 | -48.6 | 53.9 | 244 |
| B00R_100_100e | 37.3 | 1.4 | -48.6 | 48.7 | 271 |
| B25R_100_100e | 31.5 | 24.4 | -41.9 | 48.5 | 300 |
| B50R_100_100e | 38.5 | 46.7 | -28.5 | 54.7 | 328 |
| B75R_100_100e | 49.4 | 65.5 | -9.1 | 66.2 | 352 |

